

с учетом измерений 1972—74 гг. в диапазоне 60÷100 см оказался равным $\alpha = -0,88 \pm 0,12^{\circ}$, что хорошо согласуется с результатами [3, 7]. На рис. 3 изображен спектр Лебеда-А. Результаты измерений с учетом данных [3] соответствуют прямой со спектральным индексом $\alpha = -0,98 \pm 0,21$, что в пределах погрешностей согласуется с данными [3, 7]. На рис. 4 приведен спектр радиоизлучения Крабовидной туманности в диапазоне 60÷100 см со спектральным индексом $\alpha = -0,24 \pm 0,25$. Возможное увеличение потока крабовидной туманности в диапазоне 60÷100 см в 1982 г. по сравнению с 1974 г. находится в пределах погрешностей измерений [3], равных $\delta_2 \approx 15 \div 30\%$.

Автор выражает благодарность Л. В. Дмитренко и С. А. Пелюшенко за помощь при подготовке эксперимента и Н. М. Цейтлину за полезные замечания.

ЛИТЕРАТУРА

- 1 Цейтлин Н. М. Антенная техника и радиоастрономия. — М.: Сов. радио, 1976.
- 2 Миллер М. Е. Препринт НИРФИ № 161. — Горький, 1983.
- 3 Цейтлин Н. М., Дмитренко Л. В., Дмитренко Д. А., Миллер Е. А., Снегирева В. В., Титов Г. К. — Изв. вузов — Радиофизика, 1976, 19, № 8, с. 1106.
- 4 Seeger C. L., Stumper F. L., Van Hurck H. M. — Philips Technical Review, 1960, 21, № 11, p. 317.
- 5 Haslam C. G. T., Salter C. J., Stoffel H., Wilson W. E. — Astron. Astrophys. Suppl., 1982, ser. 47, p. 1.
- 6 Pauliny-Toth I. I. K., Shakeshaft J., Mon N. R. — Astr. Soc., 1962, 124, № 1, p. 61.
- 7 Троицкий В. С. и др. — Астрон. журн 1971, 48, № 6, с. 1150.

Научно-исследовательский
радиофизический институт

Поступила в редакцию
11 февраля 1983 г.,
после доработки
1 ноября 1983 г.

УДК 517.925

СИНХРОНИЗАЦИЯ СТОХАСТИЧЕСКИХ КОЛЕБАНИЙ

В. И. Сбитнев

Одна из проблем, поставленных Эшби в [1], — можно ли построить динамическую систему, которая проявляла бы «свободу выбора в коридоре возможностей». Попытки Эшби подойти к решению подобной проблемы [1] не привели его к обнаружению класса динамических систем, способных воспроизводить случайное поведение вне наличия источников неконтролируемых шумов [2]. Пожалуй, наиболее привлекательным в таких системах является то, что вариациями системных параметров сравнительно просто модифицируется почерк стохастической активности [3, 4]. Не исключено, что на этой основе можно реализовать качественно новые принципы регуляции, сопоставимые с регуляторными функциями нервных тканей центральной нервной системы [1, 5]. При синтезе регуляторных функций центральное место занимает проблема коллективного поведения динамических систем, на основе которых строятся подобные функции. Простейшим, но довольно распространенным типом взаимодействия является диссипативная связь ближайших соседей:

$$X_{n+1} - X_n = -\varepsilon X_n + pS(v - hX_n) + qS(v - hY_n) - \theta(Z^* - X_n),$$

$$Y_{n+1} - Y_n = -\varepsilon Y_n + pS(v - hY_n) + qS(v - hX_n) - \theta(Z^* - Y_n), \quad (1)$$

$$S(\tilde{\xi}) = (1 + \exp(-\tilde{\xi}))^{-1}, \quad \theta(\xi) = \{0, \forall \xi \geq 0; 1, \forall \xi < 0\}.$$

Здесь $p+q=1$, $p, q \in (0,1)$. Диссипативная связь очевидна, если выразить p через $1-q$. При $q=0$ взаимодействие отсутствует и параметры $h=4$, $Z^*=0,25$, $v=hZ^*=1$ и $\varepsilon=0,01$ выбраны так, чтобы на возвратном множестве (рис. 1) имели бы место стохастические колебания с показателем Ляпунова, много большим единицы [4].

* Значение α определялось по методу наименьших квадратов.

Поскольку ε — малый параметр, то в аналитических оценках будем полагать $\varepsilon=0$. Удобнее перейти к переменным $Z_n = (X_n + Y_n)/2 - Z^*$ и $J_n = (X_n - Y_n)/2$. В этом случае система (1) принимает вид

$$Z_{n+1} = Z_n + (1/2) [S(-hJ_n - hZ_n) + S(hJ_n - hZ_n)] - \Delta_Z(Z_n, J_n),$$

$$J_{n+1} = J_n + ((1 + 2q)/2) [S(-hJ_n - hZ_n) - S(hJ_n - hZ_n)] - \Delta_J(Z_n, J_n), \quad (2)$$

$$\Delta_Z + \Delta_J = \theta(-J_n - Z_n), \quad \Delta_Z - \Delta_J = \theta(J_n - Z_n).$$

Плоскость (J, Z) разделена прямыми $Z = \pm J$ на четыре области P_{\pm}, Q_{\pm} (рис. 2), согласно значениям которые принимают ступенчатые функции $(\Delta_J, \Delta_Z) = \{(0, 0) \in P_{-}, (-1/2, 1/2) \in Q_{-}, (1/2, 1/2) \in Q_{+}, (0, 1) \in P_{+}\}$. Можно оценить характер поведения каскадов в этих областях, отслеживая их локальное поведение в окрестности неподвижных точек n -периодических орбит. Но прежде всего заметим, что как $J=0$, так и $Z=0$ являются равновесными решениями системы (2). Поэтому равновесные состояния, в качестве которых возьмем неподвижные точки x_{\pm} 2-периодической орбиты (рис. 1), будем искать на осях Z и J . Поскольку отображение (2) инвариантно относительно инверсий $Z_n \rightarrow -Z_n, J_n \rightarrow -J_n$, то неподвижные точки этой орбиты расположены симметрично относительно начала координат. Неподвижные точки $Z_{+} = -Z_{-}$ и $J_{+} = -J_{-}$ находятся из решений уравнений

$$Z_{+} = \frac{1}{2} S(hZ_{+}), \quad J_{+} = \frac{q}{2} + \frac{1-2q}{2} S(hJ_{+}).$$

Для $h=4$ $Z_{+} \approx 0,169$, а J_{\pm} представима через Z_{\pm} в форме

$$J_{+} \approx q/2 + (1 - 2q)(2 - q) Z_{+}/2.$$

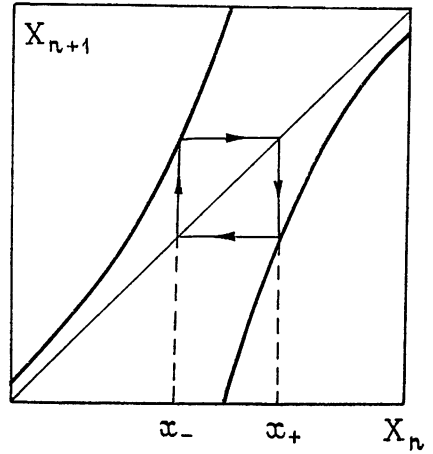
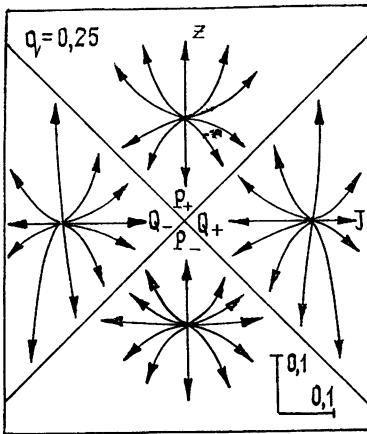
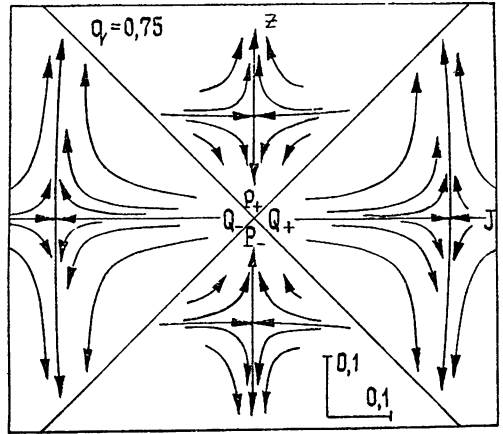


Рис. 1.



а)



б)

Рис. 2.

В окрестности неподвижных точек $(0, Z_{\pm})$ и $(J_{\pm}, 0)$ поведение каскадов отображения $F^2(J_{2k}, Z_{2k}) \rightarrow (J_{2k+2}, Z_{2k+2})$ характеризуется показателями Ляпунова $l_Z = (1+H)^2$, $l_J = (1+(1-2q)H)^2$, $H = hS_{+}S_{-} > 0$. В окрестности точки $(0, Z_{\pm})$ $S_{\pm} = S(hZ_{\pm})$, а в окрестности $(J_{\pm}, 0)$ $S_{\pm} = S(hJ_{\pm})$. Показатель l_Z всегда больше единицы и характеризует растяжение траекторий вдоль оси Z , а l_J — вдоль J и может быть как больше единицы (при $q < 0,5$), так и меньше (при $q > 0,5$). В первом случае траектории растягиваются вдоль оси J и неподвижные точки являются состояниями равновесия типа неустойчивых узлов (рис. 2а) — имеет место хаотизация сто-

хастических колебаний. Во втором случае происходит сжатие траекторий вдоль оси J и неподвижные точки представляют собой состояния равновесия типа седел (рис 2б). Из-за наличия седел ($J_{\pm}, 0$) наблюдаются довольно сложные переходные режимы: при $|J| \neq 0$ существует вероятность попадания каскада в клинья Q_{\pm} (рис. 2б), а следовательно, в область притяжения седел ($J_{\pm}, 0$). Эта вероятность стремится к нулю при $|J| \rightarrow 0$, и поэтому каскад рано или поздно «ложится» на ось Z , что соответствует синхронизации стохастических колебаний.

ЛИТЕРАТУРА

1. Эшби У. Р. Конструкция мозга. — М. ИЛ, 1962.
2. Рабинович М. И. Нелинейные волны. Стохастичность и турбулентность — Горький: ИПФ АН СССР, 1980, с. 5.
3. Сбитнев В. И. — Биофизика, 1982, 27, с. 515.
4. Сбитнев В. И. — Биофизика, 1984, 29, с. 113.
5. Осовец С. М. и др. Нелинейные волны. Стохастичность и турбулентность. — Горький. ИПФ АН СССР, 1980, с. 172

Ленинградский институт ядерной
физики АН СССР

Поступила в редакцию
21 октября 1983 г.

УДК 621.396.962.27

ИЗЛУЧАТЕЛЬНЫЕ ХАРАКТЕРИСТИКИ ГАРМОНИЧЕСКИ НЕРОВНОЙ ПОВЕРХНОСТИ В КИРХГОВСКОМ ПРИБЛИЖЕНИИ

В. Ю. Райзер, С. Р. Филонович

В задачах дистанционного зондирования возникает необходимость выбора адекватных моделей подстилающих поверхностей для расчета характеристик собственного и рассеянного излучения. Если имеются крупномасштабные неровности со случайным профилем, то используют известный метод Кирхгофа (приближение геометрической оптики), а статистические свойства поверхности описывают, как правило, гауссовыми распределениями [1-7]. В случае поверхностей с узким или дельта-образным спектром возвышений применимость гауссовых статистик не всегда правомочна. Примером могут служить возмущения типа волн конечной амплитуды на воде, которые отличаются монохроматичностью и регулярностью формы [8]. В настоящем сообщении рассмотрена возможная модель СВЧ излучения такой поверхности.

Расчет спектрального коэффициента излучения крупномасштабной поверхности можно свести к статистическому усреднению локальных коэффициентов отражения по ансамблю плоских случайно ориентированных площадок:

$$\alpha_{п.г}(\theta) = 1 - \int_{-\infty}^{\infty} |r_{в,г}(\cos \chi)|^2 p(\theta, z) dz. \quad (1)$$

Здесь $r_{в,г}(\cos \chi)$ — френелевские коэффициенты отражения для вертикальной (v) и горизонтальной ($г$) поляризации, $p(\theta, z)$ — одномерная плотность вероятности распределения углов поверхности в плоскости падения. Локальный угол падения χ зависит от угла наблюдения θ и величины уклона $z = \operatorname{tg} \psi$ (рис. 1):

$$\cos \chi = \cos(\psi - \theta) = (1 + z \operatorname{tg} \theta)^{-1/2} \cos \theta. \quad (2)$$

Плотности распределения $p(\theta, z)$ под углом θ и $p(z)$ при $\theta=0$ связаны соотношением

$$p(\theta, z) = (1 + z \operatorname{tg} \theta) p(z). \quad (3)$$

Пусть возмущения поверхности имеют строго гармонический характер

$$\xi(x) = a \sin(kx + \varphi), \quad (4)$$

где амплитуда a и пространственная частота $k=2\pi/\Lambda$ — постоянные, а фаза φ — случайная величина, равномерно распределенная в интервале $(0, 2\pi)$. Тогда одномерная плотность распределения случайной величины градиента $\nabla \xi_x$ равна, согласно [2],

$$p(z) = \begin{cases} (\pi \sqrt{z_0^2 - z^2})^{-1}, & |z| < z_0, \\ 0, & |z| > z_0 \end{cases} \quad (5)$$

где $z_0 = ka$ — максимальное значение градиента, т. е. максимальный уклон поверхности.